
Simulazione parallela di un sistema gravitazionale ad N corpi

SISTEMI DI CALCOLO PARALLELI E DISTRIBUITI

2 APRILE 2023

MATTEO CAMANNI

MATR. 812320

Indice

1	Progettazione	2
1.1	Problema scientifico e algoritmo scelto	2
1.2	Parallelizzazione	2
1.2.1	Importo dei dati da file - t_{s1} , t_{c1}	2
1.2.2	Divisione del problema - t_{s2} , t_{sp1} , t_{c2}	3
1.2.3	Costruzione dell'Octree locale e computazione della gravità - t_{p1} , t_{c3}	3
1.2.4	Primo passo dell'algoritmo velocity Verlet - t_{p2}	3
1.2.5	Scambio corpi - t_{p3} , t_{c4}	3
1.2.6	Secondo passo dell'algoritmo velocity Verlet - t_{p4}	3
1.2.7	Esporto i risultati su file - t_{s3} , t_{c5}	3
1.2.8	Difetti del codice	3
2	Sperimentazione	4
2.1	Condizioni sperimentali	4
2.1.1	Dataset sintetico	4
2.1.2	Hardware impiegato	4
2.2	Scalabilità	4
2.3	Studio sulla località	6
2.4	Stime sulla legge di Amdahl	7
2.5	Weak Scaling	8
3	Conclusioni	8
4	Appendice: Codice usato	9
4.1	main_mpi_v1.0.cpp	9

1 Progettazione

1.1 Problema scientifico e algoritmo scelto

Il codice ha lo scopo di risolvere un sistema gravitazionale ad N corpi nell'ambito della fisica classica. L'interazione gravitazionale classica tra due corpi è descritta dall'equazione di Newton:

$$F = G \frac{m_1 m_2}{r^2} \quad (1)$$

Essa è risolvibile analiticamente solo se il numero dei corpi massivi coinvolti è limitato a due oppure per tre corpi in configurazioni specifiche. Per risolvere un sistema generale con N corpi ci si deve quindi affidare ad algoritmi numerici. Una simulazione numerica, se opportunamente tarata, sarà in grado di descrivere l'evolvere del sistema con un buon grado di approssimazione sui tempi scala desiderati. In questo codice si è fatto uso di un algoritmo simplettico "*Velocity Verlet*" per risolvere l'equazione del moto. Esso agisce in tre fasi:

$$v\left(t + \frac{dt}{2}\right) = v(t) + \frac{dt}{2}g(x(t)) \quad (2)$$

$$x(t + dt) = x(t) + v\left(t + \frac{dt}{2}\right)dt \quad (3)$$

$$v(t + dt) = v\left(t + \frac{dt}{2}\right) + \frac{dt}{2}g(x(t + dt)) \quad (4)$$

$$g(t) = G \frac{m}{r^2(t)} \quad (5)$$

Sono necessari due valori dell'accelerazione gravitazionale ad ogni step temporale ma il secondo sarà uguale al primo del passaggio successivo.

Questo modello si applica ad ogni coppia di corpi facente parte del sistema in esame in maniera indipendente e quindi per ognuna di esse ci sarà un'equazione da aggiungere al sistema. Per ogni step temporale ci saranno quindi N-1 accelerazioni da calcolare per ogni corpo. Questo, soprattutto con un elevato valore di N, genera un altissimo numero di operazioni. Per ridurre il problema si è utilizzato l'algoritmo di Barnes-Hut. Per prima cosa lo spazio (in questo caso cubico) viene diviso in ottanti calcolando ricorsivamente il centro di massa di ogni nodo dell'octree che si viene così a formare. Si considerano tutti gli ottanti contenenti almeno un corpo fino a dei nodi "foglia" che conterranno i singoli corpi del sistema. Al momento del calcolo della gravità si applica una condizione di clustering per cui per i corpi più lontani si considereranno i centri di massa dei nodi che li contengono riducendo considerevolmente i calcoli necessari con un'approssimazione minima. Questo soprattutto con molti corpi e/o con distribuzioni disomogenee, casi comuni in questo tipo di sistema.

1.2 Parallelizzazione

Per parallelizzare il codice si utilizza un modello di programmazione message passing implementato tramite la libreria MPI per C++. L'algoritmo di Barnes-Hut si basa su una divisione del problema quindi si è impiegato un paradigma dividi e conquista.

La struttura del codice è la seguente (sono indicati anche i termini portati alla legge di Amdahl. t_s sono operazioni sequenziali, t_c tempi di comunicazione e t_p operazioni parallele):

1.2.1 Importo dei dati da file - t_{s1} , t_{c1}

La prima sezione del codice è sequenziale. Il primo processo si occupa di leggere da un file i valori di massa, posizione e velocità iniziali dei corpi del sistema ed informa gli altri processi sul loro numero tramite una primitiva Broadcast. Questa comunicazione serve per allocare i vari array necessari.

1.2.2 Divisione del problema - t_{s2} , t_{sp1} , t_{c2}

Una volta importati i dati il problema viene suddiviso in sottoproblemi analoghi seguendo il paradigma dividi e conquista. La divisione avviene in ottanti ed è ricorsiva. Il primo processo divide in otto sottogruppi i corpi inviandoli ai processi fratelli con una primitiva Scatter (operazione sequenziale). Se i processi usati sono più di otto i primi otto in parallelo effettueranno una nuova divisione ridistribuendo ulteriormente i dati. Questa operazione è analoga ad una divisione ad albero ed è "semiparallela" nel senso che è parallelizzata solo su un sottoinsieme dei processi.

1.2.3 Costruzione dell'Octree locale e computazione della gravità - t_{p1} , t_{c3}

Il paradigma dividi e conquista prevede di risolvere le parti del problema come se fossero il problema completo. Si sfrutta quindi una funzione scritta per una versione sequenziale del codice per costruire un octree locale per ognuno dei nodi cubici di pertinenza di un processo e calcolare il vettore di accelerazione gravitazionale di ognuno dei corpi a lui affidati.

I sottosistemi non sono però veramente indipendenti. Una volta costruiti gli octree locali i processi si scambiano i centri di massa tramite una primitiva Allgather e verificano la condizione di clustering. I corpi per cui è verificata sono gestibili localmente mentre gli altri vengono inviati agli altri processi per aggiungere i termini gravitazionali dati dai sottonodi dagli octree locali di altri processi. L'invio avviene in una serie di cicli in cui ogni processo raccoglie o distribuisce da/verso tutti gli altri processi a cui si alternano le operazioni parallele di allocazione e calcolo della gravità.

1.2.4 Primo passo dell'algoritmo velocity Verlet - t_{p2}

A questo punto inizia il ciclo nel tempo per l'evoluzione del sistema. L'algoritmo velocity Verlet è separato in due diverse sezioni in quanto nel mezzo è necessario ricalcolare la gravità (e gli octree locali). Questa sezione è completamente parallela.

1.2.5 Scambio corpi - t_{p3} , t_{c4}

Prima di aggiornare gli octree è necessario affrontare le conseguenze degli spostamenti dei corpi nella sezione precedente. Una parte di essi infatti sarà migrata dal volume di competenza di un processo a quella di un altro. Questo è eseguito tramite un ciclo di invii a cerchio tra tutti i processi dove viene prima valutato il vettore di corpi proprio dividendo tra oggetti da tenere, scartare perchè usciti dal sistema in esame o passare ad un altro processo e poi man mano valutati i vettori dei corpi passati dai processi. Alla fine del cerchio tutti i corpi saranno stati inviati al processo corretto senza rischiare un deadlock.

1.2.6 Secondo passo dell'algoritmo velocity Verlet - t_{p4}

A questo punto viene completato il calcolo con l'algoritmo in questa seconda sezione completamente parallela.

1.2.7 Esporto i risultati su file - t_{s3} , t_{c5}

Dopo aver concluso il ciclo sul tempo si torna ad una sezione sequenziale dove il processo zero raccoglie i corpi da tutti gli altri e li stampa su file.

1.2.8 Difetti del codice

Il codice presenta due problematiche note.

La prima riguarda il load balancing. La struttura ad octree dell'algoritmo divide in maniera equa i

volumi di competenza ai vari processi ma il carico del calcolo è funzione principalmente del numero dei corpi. Questo vuol dire che per avere un load balancing ottimale il dataset di partenza dovrà essere il più possibile uniforme senza perdere troppo questa caratteristica durante l'evoluzione temporale. Questa richiesta è parzialmente in conflitto con la disomogeneità ideale per la condizione di clustering anche se non sono esattamente sulla stessa scala. Ho quindi una dipendenza del load balancing dal dataset soprattutto con pochi corpi coinvolti.

La seconda problematica riguarda la divisione del sistema. Fino ad otto processi con un solo livello di divisione al momento del calcolo della gravità non incontro problemi. Invece, dai sedici processi in su, accedo ai centri di massa del secondo livello dell'octree complessivo del sistema (64 centri di massa) perdendo l'informazione sul primo. Questo non invalida il conto ma riduce l'efficacia dell'approssimazione con condizione di clustering. La struttura dei comunicatori usati e la mancanza di un processo master non permette una soluzione semplice e si è preferito non aggiungere ulteriori complesse comunicazioni al codice.

2 Sperimentazione

2.1 Condizioni sperimentali

2.1.1 Dataset sintetico

Per testare il programma si è creato un dataset sintetico composto da sei corpi massivi in orbite stabili intorno all'origine e una nuvola di corpi minori centrale generati randomicamente. Il sistema così composto non è ovviamente del tutto stabile e quindi bisogna limitare la lunghezza delle simulazioni per evitare perdite di corpi.

2.1.2 Hardware impiegato

Le simulazioni i cui dati sono presentati in questa sezione sono state eseguite su di una serie di nodi computazionali Lenovo NeXtScale nx360 M5 ognuno dotato di 125 GiB di RAM DDR4 e due processori Intel Xeon E5-2697 v4. Tali CPU sono dotate di 18 core e gestiscono 36 thread. La loro frequenza di clock base è di 2.3 GHz con la possibilità di raggiungere un massimo di 3.6 GHz e possiedono 45 MB di cache il cui ultimo livello è dinamicamente condiviso tra i core (Intel Smart Cache).

2.2 Scalabilità

La prima analisi effettuata è stata uno studio del fattore di scalabilità. La simulazione considerata prevede 2000 corpi su un tempo di 2 unità temporali $\left(\sqrt{\frac{UA^3}{10^{-3}M_{\odot}}}\right)$ con $dt = 0.001$.

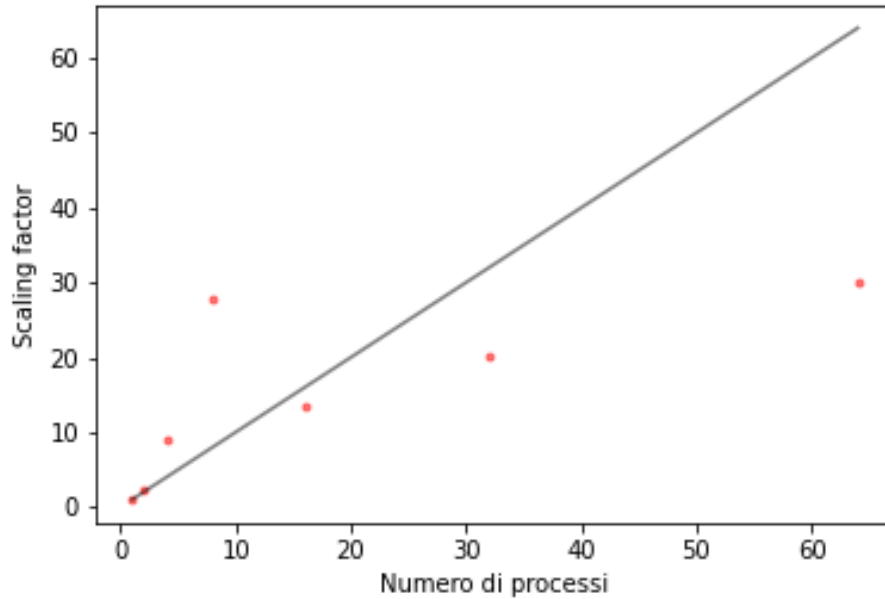


Figura 1: Scaling factor ($S(p) = t(1)/t(p)$ con p =numero di processori)

L'andamento dello scaling factor, esclusi i punti per quattro e otto, segue una curva che inizialmente è vicina alla retta che rappresenta lo scaling factor ideale per poi discostarsene tendendo ad un asintoto orizzontale. Questo andamento è atteso ed è dovuto al fatto che all'aumentare del numero di processi il tempo di calcolo sarà dominato dalla parte non parallelizzata del codice, come ad esempio input e output.

Per quattro e otto processi invece l'andamento si discosta molto da questo modello. Una discontinuità tra otto e sedici processi era attesa in quanto vi è un passaggio di divisione aggiuntiva in sottoproblemi, ma la superlinearità è inaspettata. Non sembra dipendere dal numero di dati in quanto si ripropone anche provando con 8000 corpi. Misurando i tempi della specifica sezione di codice che costruisce l'octree locale (oggetto allocato dinamicamente e quindi in una memoria condivisa) si osserva un rapido calo del tempo necessario fino ad una stabilizzazione intorno agli otto processi in linea con il comportamento del tempo complessivo. Questa è probabilmente la sezione di codice responsabile delle discontinuità osservate.

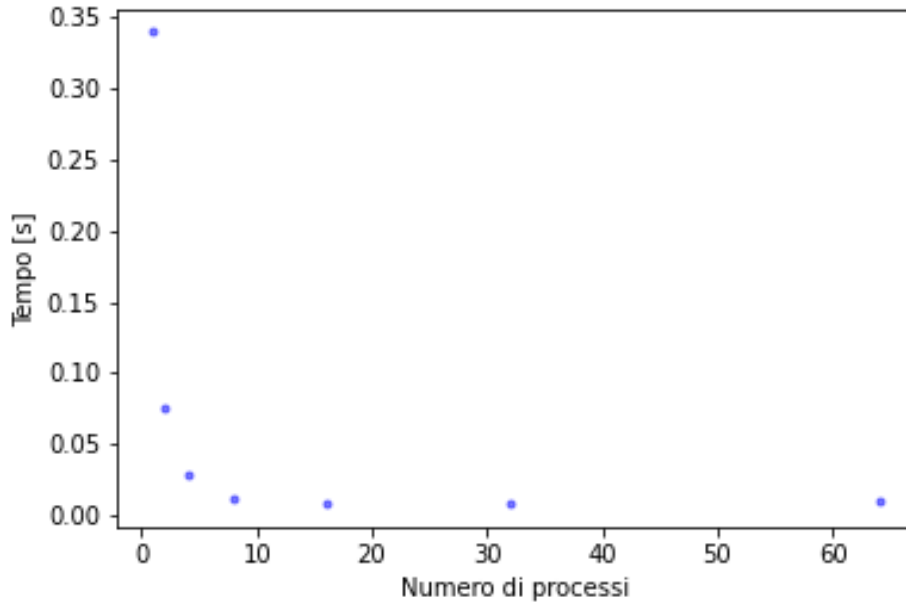


Figura 2: Tempo di calcolo sulla prima sezione di costruzione dell'octree e computazione della gravità in funzione del numero di processi

E' possibile che l'architettura hardware su cui sono state eseguite le simulazioni favorisca questo numero di processi per la presenza di banchi di memoria più rapidamente accessibili ad alcuni core o processori o cache dimensionate in modo tale da rendere più efficienti queste configurazioni. Si è quindi proceduto ad uno studio sulla località per approfondire la questione.

2.3 Studio sulla località

La velocità delle comunicazioni tra i processi e degli accessi in memoria è dipendente dalla struttura hardware. Il centro di calcolo sul quale sono state eseguite le run del software possiede 68 nodi da 36 core (distribuiti su due processori da 18 core ciascuno).

Per valutare l'effetto della località delle operazioni eseguite si sono effettuate due prove. Nella prima, limitandosi a 32 processi, si è forzato il sistema ad eseguire tutti i calcoli su di un unico nodo mentre nella seconda lo si è forzato ad eseguirlo su di un numero di nodi pari al numero di processi (per simmetria ci si è limitati anche qui a 32 processi).

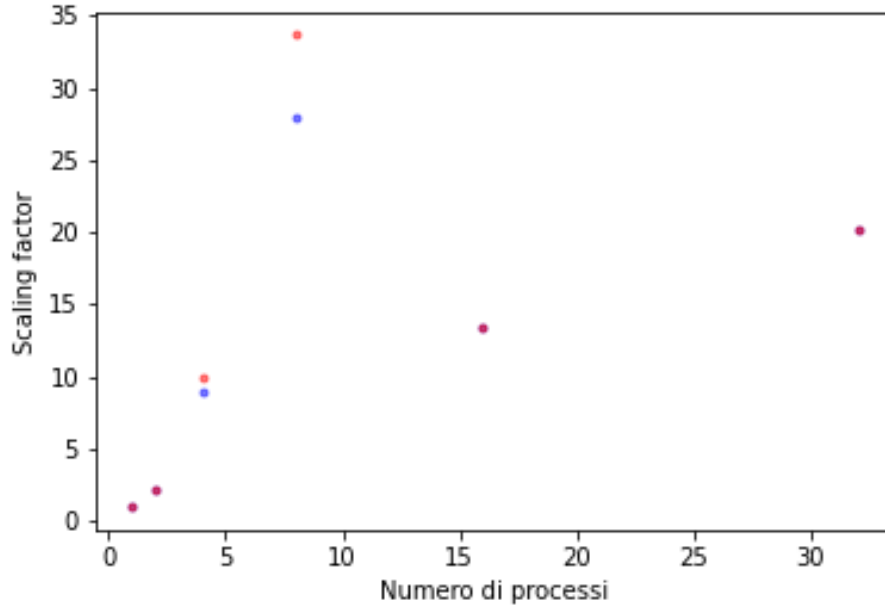


Figura 3: Scaling factor per due diversi casi: in blu per il programma eseguito su di un singolo nodo mentre in rosso se eseguito su p nodi differenti

Come si può vedere dall'immagine non ci sono sostanziali differenze tra i due casi, soprattutto per quanto riguarda i punti che non mostravano comportamenti anormali. I punti problematici, a differenza di quanto si prevedeva, mostrano un ulteriore aumento di scaling factor nel caso di esecuzione su diversi nodi e quindi fisicamente su diversi processori. Questo sembrerebbe escludere l'ipotesi di accelerazione data dalla memoria condivisa su un sottoinsieme di core di una singola macchina.

2.4 Stime sulla legge di Amdahl

La legge di Amdahl permette una stima dello speed-up di un codice in funzione del parametro f indicante la percentuale di codice non parallelizzata.

$$S(p) = \frac{t_s}{ft_s + (1 - f)t_s(p)} \quad (6)$$

Per misurare lo speed-up servirebbe il miglior algoritmo sequenziale disponibile ma con alcune misure si può valutare, almeno parzialmente, il valore di f per questo codice. Si è presa in considerazione la run con un processo della sezione 2.2 e le componenti descritte nella sezione 1.2 (assumendo trascurabili i tempi di comunicazione visto il caso con un solo processo).

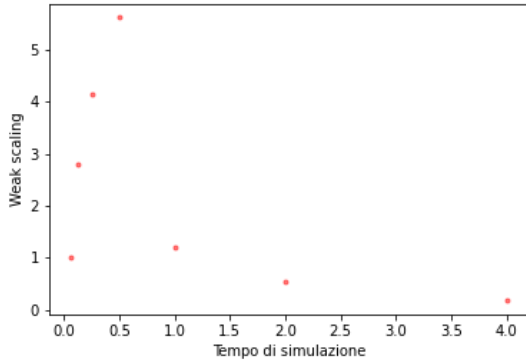
Componente	Tempo (s)
t_{s1}	0.0133631
t_{s2}	0.00107666
t_{s3}	0.00932205
t_{tot}	690.016

Dai dati in tabella si ottiene un $f \simeq 0.0034\%$ ovvero una percentuale trascurabile di codice non è parallelizzata su una simulazione da $t=0$ a $t=2$. La diminuzione di scaling factor osservata è quindi da imputarsi ai tempi delle numerose comunicazioni e sincronizzazioni necessarie.

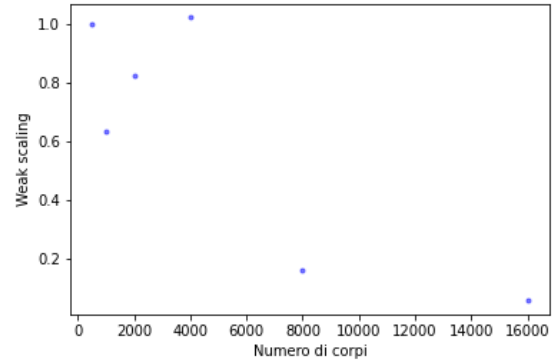
2.5 Weak Scaling

Come ultimo passaggio si è andati ad analizzare la capacità di weak scaling del codice. Ciò che si vorrebbe avere è la capacità di mantenere costante il tempo di calcolo se a fronte ad un raddoppio dei dati si raddoppia il numero dei processi.

Ci sono due parametri che possiamo definire dati del problema che il codice risolve. Il primo è il numero degli oggetti coinvolti mentre il secondo è l'intervallo temporale della simulazione. Si sono quindi effettuati due studi raddoppiando questi parametri e il numero di processi impiegati. La grossa differenza tra questi raddoppi è il fatto che duplicare il numero dei corpi influenza i tempi sequenziali aumentando il parametro f , mentre aumentare la lunghezza della simulazione influenza solo le parti di codice parallele.



(a) Raddoppio dei tempi



(b) Raddoppio del numero di oggetti

Figura 4: Andamento del weak scaling al raddoppio del tempo di simulazione o del numero di oggetti coinvolti

Si ritrova nuovamente in entrambi i grafici la superlinearità su quattro e otto processi alla quale si aggiunge un più marcato boost di velocità con due processi.

A livello temporale il weak scaling non è troppo basso anche se non ottimale. Risente anche del fatto che il limite a $t=4$ non è arbitrario ma è tarato nella zona in cui questo sistema sintetico inizia a diventare molto instabile.

Il numero di corpi in input è invece un fattore che influenza molto i tempi di calcolo e aumentare il numero di processi non basta a controbilanciare l'aumento del peso delle parti sequenziali e delle comunicazioni necessarie (anch'esse legate al numero dei dati coinvolti). Il weak scaling in questo caso è abbastanza basso da controbilanciare il boost di cui gode la zona tra due e otto processi. Un altro fattore che penalizza i casi con più di otto processi all'aumentare dei corpi è la loro distribuzione in questo dataset sintetico. Infatti la nuvola di corpi è inizialmente condensata al centro e, mentre ciò non disturba il load balancing di una divisione in ottanti (che mantiene la simmetria centrale), lo peggiora quando la divisione è in sessantaquattro nodi diminuendo l'effettiva parallelizzazione del calcolo nella fase iniziale.

3 Conclusioni

Il codice è in grado di migliorare l'efficienza del calcolo tramite parallelizzazione anche se le sincronizzazioni necessarie tra le sue parti sono una considerevole zavorra per la scalabilità.

Si è osservato un comportamento di superlinearità in alcuni casi, in particolare per quattro e otto processi, probabilmente frutto della struttura hardware ma non del tutto compresa.

4 Appendice: Codice usato

4.1 main_mpi_v1.0.cpp

```
1  #include "mpi.h"
2  #include <string.h>
3  #include <stdlib.h>
4  #include <iostream>
5  #include <iomanip>
6  #include <fstream>
7  #include <cmath>
8  #include <vector>
9  #include <math.h>
10
11 using namespace std;
12
13 //-----+
14 //|          INTERFACCIA: VARIABILI DA MODIFICARE          |
15 //+-----+
16 #define L          100 //Dimensione dello spazio dell'octree
17 #define T          2  //Tempo totale di simulazione
18
19 //-----+
20 //|          STRUCT BODY          |
21 //+-----+
22 struct Body{
23     double mass;
24     double coord[3];
25     double vel[3];
26
27     Body(){};
28     Body(double m, double v[3], double x[3]){
29         mass = m;
30         for(int i=0;i<3;i++){
31             coord[i] = x[i];
32             vel[i] = v[i];
33         }
34     };
35     Body(double m, double x[3]){
36         mass = m;
37         for(int i=0;i<3;i++){
38             coord[i] = x[i];
39             vel[i] = 0;
40         }
41     };
42     bool IsInCube(double c[], double l){
43         bool in = false;
44         double x_min = min(c[0]+l/2,c[0]-l/2);
```

```

45     double x_max = max(c[0]+1/2,c[0]-1/2);
46     double y_min = min(c[1]+1/2,c[1]-1/2);
47     double y_max = max(c[1]+1/2,c[1]-1/2);
48     double z_min = min(c[2]+1/2,c[2]-1/2);
49     double z_max = max(c[2]+1/2,c[2]-1/2);
50     if(coord[0]>=x_min && coord[0]<x_max &&
51        coord[1]>=y_min && coord[1]<y_max &&
52        coord[2]>=z_min && coord[2]<z_max){
53         in = true;
54     }
55     return in;
56 };
57 bool IsInCubes(double c[], double l, int n){
58     int a = 0;
59     for(int i=0;i<n;i++){
60         if(IsInCube(&c[3*i], l)==true) a++;
61     }
62     if(a==0){
63         return false;
64     }
65     else{
66         return true;
67     }
68 };
69 void Print(){
70     cout << "m = " << mass << "\n";
71     cout << "x = " << coord[0] << "," << coord[1] << "," << coord[2] << "\n";
72     cout << "v = " << vel[0] << "," << vel[1] << "," << vel[2] << "\n";
73 }
74 };
75
76 //-----+
77 //|                                     |
78 //+-----+
79 struct Vect3D{
80     double v[3];
81 };
82
83 //-----+
84 //|                                     |
85 //+-----+
86 class Barnes{
87     public:
88     Barnes(){
89         empty = false;
90     }
91     Barnes(double m, double *x){
92         cm.mass=m;

```

```

93     cm.coord[0]=x[0];
94     cm.coord[1]=x[1];
95     cm.coord[2]=x[2];
96     cm.vel[0]=0.;
97     cm.vel[1]=0.;
98     cm.vel[2]=0.;
99     empty = false;
100 }
101 Barnes(Body &b){
102     cm = b;
103     empty = false;
104 }
105 Barnes(int &N, double c[], double Len, Body bodies[]){
106     //creo il nodo base
107     double m = 0;
108     double mm;
109     double p[3] = {0,0,0}; //per il centro di massa
110     int nb = 0;
111     int lf;
112     for(int i=0;i<N;i++){
113         if(bodies[i].IsInCube(c,Len)==true){
114             nb++;
115             if(nb==1){
116                 lf=i;
117             }
118             mm = bodies[i].mass;
119             m += mm;
120             p[0] += bodies[i].coord[0]*mm;
121             p[1] += bodies[i].coord[1]*mm;
122             p[2] += bodies[i].coord[2]*mm;
123         }
124     }
125     if(nb==0){
126         empty = true;
127     }
128     if(nb>0){ //lo considero solo se contiene corpi
129         p[0]=p[0]/m;
130         p[1]=p[1]/m;
131         p[2]=p[2]/m;
132         if (nb==1){
133             cm = bodies[lf];
134             empty = false;
135         }
136         else{
137             cm.mass = m;
138             cm.coord[0]=p[0];
139             cm.coord[1]=p[1];
140             cm.coord[2]=p[2];

```

```

141         empty = false;
142     }
143 }
144 if(nb>1){
145     //divido in ottanti e chiamo il costruttore
146     double l = Len/2;
147     //salvo il centro madre
148     double cc[3] = {c[0],c[1],c[2]};
149     //primo ottante
150     c[0] = cc[0] - l/2;
151     c[1] = cc[1] - l/2;
152     c[2] = cc[2] - l/2;
153     Barnes* nd1 = new Barnes(N,c,l,bodies);
154     if(nd1->empty==true){
155         delete nd1;
156     }
157     else{
158         subnodes.push_back(nd1);
159     }
160     //secondo ottante
161     c[2] = cc[2] + l/2;
162     Barnes* nd2 = new Barnes(N,c,l,bodies);
163     if(nd2->empty==true){
164         delete nd2;
165     }
166     else{
167         subnodes.push_back(nd2);
168     }
169     //terzo ottante
170     c[1] = cc[1] + l/2;
171     c[2] = cc[2] - l/2;
172     Barnes* nd3 = new Barnes(N,c,l,bodies);
173     if(nd3->empty==true){
174         delete nd3;
175     }
176     else{
177         subnodes.push_back(nd3);
178     }
179     //quarto ottante
180     c[2] = cc[2] + l/2;
181     Barnes* nd4 = new Barnes(N,c,l,bodies);
182     if(nd4->empty==true){
183         delete nd4;
184     }
185     else{
186         subnodes.push_back(nd4);
187     }
188     //quinto ottante

```

```

189     c[0] = cc[0] + 1/2;
190     c[1] = cc[1] - 1/2;
191     c[2] = cc[2] - 1/2;
192     Barnes* nd5 = new Barnes(N,c,l,bodies);
193     if(nd5->empty==true){
194         delete nd5;
195     }
196     else{
197         subnodes.push_back(nd5);
198     }
199     //sesto ottante
200     c[2] = cc[2] + 1/2;
201     Barnes* nd6 = new Barnes(N,c,l,bodies);
202     if(nd6->empty==true){
203         delete nd6;
204     }
205     else{
206         subnodes.push_back(nd6);
207     }
208     //settimo ottante
209     c[1] = cc[1] + 1/2;
210     c[2] = cc[2] - 1/2;
211     Barnes* nd7 = new Barnes(N,c,l,bodies);
212     if(nd7->empty==true){
213         delete nd7;
214     }
215     else{
216         subnodes.push_back(nd7);
217     }
218     //ottavo ottante
219     c[2] = cc[2] + 1/2;
220     Barnes* nd8 = new Barnes(N,c,l,bodies);
221     if(nd8->empty==true){
222         delete nd8;
223     }
224     else{
225         subnodes.push_back(nd8);
226     }
227 }
228 }
229 ~Barnes(){
230
231 }
232 void Delete_Subnodes(){
233     if(subnodes.size()>0){
234         for(int i=0;i<subnodes.size();i++){
235             subnodes[i]->Delete_Subnodes();
236             delete subnodes[i];

```

```

237     }
238 }
239 }
240
241 Body cm;
242 vector<Barnes*> subnodes; //sottonodi dell'octree
243 bool empty;
244 };
245
246 //-----+
247 ///                                     DICHIARAZIONI FUNZIONI                                     /
248 //+-----+
249 //funzione per sapere quanti corpi sono descritti dal file
250 int count(string file);
251 //funzione per leggere il file con un array di corpi
252 void load(string file, Body bodies[], int dimension);
253 //funzione per salvare su file i valori di un array di corpi
254 void save(string file, Body bodies[], int dimension);
255 //funzione per costruire la parte di octree locale di ogni processo
256 Barnes* Generate_Octree(int &N, double c[], double Len, Body bodies[], int myrank);
257 //funzione per gestire l'allocazione dinamica dell'octree locale
258 void Delete_Octree(Barnes* root);
259 //funzioni Distance per il calcolo di distanze tra Body
260 double Distance(Body b1, Body b2);
261 void Vectorial_Distance(Body b1, Body b2, double *d);
262 //funzione per l'equazione di Newton
263 void acc(double m, double d, double *x, double *a);
264 //funzioni per il calcolo della gravità
265 void Compute_Gravity(Body body, Barnes* current, double *g, double Len);
266 void Compute_Gravity_cm(Body body, int i, Body nodes_cm[], int Ncm, int Np, int rank, int i);
267
268 //-----+
269 ///                                     MAIN                                     /
270 //+-----+
271 int main(int argc, char **argv){
272
273 //Inizializzo MPI
274 MPI_Init(&argc, &argv);
275 double t0,t1,t2,t3,t4,t5;
276 t0 = MPI_Wtime();
277 int myrank[2];
278 int Np[2];
279 MPI_Comm COMM_LVL1;
280 MPI_Comm COMM_LVL2;
281 MPI_Comm_rank(MPI_COMM_WORLD, myrank);
282 MPI_Comm_size(MPI_COMM_WORLD, Np);
283 int color;
284 int color1;

```

```

285  if(myrank[0]<8){
286      color = myrank[0]%8;
287      color1 = 1;
288  }
289  if(myrank[0]>=8){
290      color = (myrank[0]-8)/((Np[0]-8)/8);
291      color1 = 0;
292  }
293  MPI_Comm_split(MPI_COMM_WORLD, color1, myrank[0], &COMM_LVL1);
294  MPI_Comm_split(MPI_COMM_WORLD, color, myrank[0], &COMM_LVL2);
295  MPI_Comm_rank(COMM_LVL2, &myrank[1]);
296  MPI_Comm_size(COMM_LVL2, &Np[1]);
297
298
299  //Dichiarazione variabili necessarie
300  double t = 0.;
301  double dt = 0.001; //salto temporale
302  string input_file = "nbody_start.txt";
303  string output_file = "nbody_end.txt";
304  int N;
305  MPI_Status status;
306  double cc[3] = {0,0,0}; //centro del sistema
307  double ccc[3] = {0,0,0};
308  double l;
309  int Npc;
310  if(Np[0]<=8){
311      Npc=Np[0];
312  }
313  else{
314      Npc=Np[1];
315  }
316
317  //definizione tipo per mandare le struct Body e vect3D
318  MPI_Datatype Bodytype;
319  MPI_Type_contiguous(7,MPI_DOUBLE,&Bodytype);
320  MPI_Type_commit(&Bodytype);
321  MPI_Aint extent,lb;
322  MPI_Type_get_extent(Bodytype,&lb, &extent);
323
324  MPI_Datatype type3D;
325  MPI_Type_contiguous(3,MPI_DOUBLE,&type3D);
326  MPI_Type_commit(&type3D);
327  MPI_Aint extent1,lb1;
328  MPI_Type_get_extent(type3D,&lb1, &extent1);
329
330  //-----+
331  //| IMPORTO I CORPI DEL SISTEMA |
332  //+-----+

```



```

333  if (myrank[0]==0) {
334      N = count(input_file);
335      cout << "Dati contati: " << N << "\n";
336  }
337  MPI_Bcast(&N, 1, MPI_INT, 0, MPI_COMM_WORLD); //serve per allocare vettori abbastanza
338
339  Body * bodies = NULL;
340  bodies = new Body[N];
341  Body * bodies_end = NULL;
342  bodies_end = new Body[N];
343  Body * octree = NULL;
344  octree = new Body[8*N];
345  Barnes* local_octree[8/Npc];
346  Body cm1[8/Npc];
347  double g[N][3];
348  Body *cm = NULL;
349  int Ncm;
350  if(Np[0]<=8){
351      Ncm=8;
352  }
353  if(Np[0]>8){
354      Ncm=64;
355  }
356  cm = new Body[Ncm];
357  double *ctr = NULL;
358  ctr = new double[3*(8/Npc)];
359  Body send[N];
360  Body newbodies[N];
361  int n_rcv;
362  int n[8];
363  int n_end[Np[0]];
364  int shift[Np[0]];
365  int a;
366  if (myrank[0]==0) {
367      load(input_file,bodies,N);
368  }
369  t1 = MPI_Wtime();
370
371  //-----+
372  ///                               DIVISIONE DEL PROBLEMA                               /
373  //+-----+
374
375  int lvl=0;
376  if(Np[0]>8){
377      lvl=1;
378  }
379  l=L;
380  for(int k=0;k<=lvl;k++){

```

```

381  int Npp;
382  if(Np[k]<=8){
383      Npp=Np[k];
384  }
385  else{
386      Npp=8;
387  }
388  if (myrank[k]==0){
389      //divido in ottanti
390      l = 1/2;
391      //posizioni dei centri
392      if(k>0){
393          ccc[0]=ctr[0];
394          ccc[1]=ctr[1];
395          ccc[2]=ctr[2];
396      }
397      double c[8][3] = {{ccc[0] - 1/2,ccc[1] - 1/2,ccc[2] - 1/2},
398                        {ccc[0] - 1/2,ccc[1] - 1/2,ccc[2] + 1/2},
399                        {ccc[0] - 1/2,ccc[1] + 1/2,ccc[2] - 1/2},
400                        {ccc[0] - 1/2,ccc[1] + 1/2,ccc[2] + 1/2},
401                        {ccc[0] + 1/2,ccc[1] - 1/2,ccc[2] - 1/2},
402                        {ccc[0] + 1/2,ccc[1] - 1/2,ccc[2] + 1/2},
403                        {ccc[0] + 1/2,ccc[1] + 1/2,ccc[2] - 1/2},
404                        {ccc[0] + 1/2,ccc[1] + 1/2,ccc[2] + 1/2}};
405      //spedisco ai processi fratelli i centri di loro competenza
406      if(k==0){
407          MPI_Scatter(&c, 3*(8/Npp), MPI_DOUBLE, ctr, 3*(8/Npp), MPI_DOUBLE, 0, COMM_LVL1);
408      }
409      if(k==1){
410          MPI_Scatter(&c, 3*(8/Npp), MPI_DOUBLE, ctr, 3*(8/Npp), MPI_DOUBLE, 0, COMM_LVL2);
411      }
412      vector<int> o[8];
413      for(int j=0;j<8;j++){
414          n[j]=0;
415      }
416      for(int i=0;i<N;i++){
417          for(int j=0;j<8;j++){
418              if(bodies[i].IsInCube(c[j],l)==true){
419                  o[j].push_back(i);
420                  n[j]++;
421              }
422          }
423      }
424      int aa = 0;
425      for(int j=0;j<8;j++){
426          for(int y=0;y<o[j].size();y++){
427              octree[aa+y]=bodies[o[j][y]];
428          }

```

```

429     aa+=o[j].size();
430 }
431 }
432 //ricevo nei processi fratelli i centri di loro competenza
433 if(myrank[k]>0 && myrank[k]<8){
434     l = L/2;
435     double c; //serve solo per il compilatore
436     if(k==0){
437         MPI_Scatter(&c, 3*(8/Npp), MPI_DOUBLE, ctr, 3*(8/Npp), MPI_DOUBLE, 0, COMM_LVL1);
438     }
439     if(k==1){
440         MPI_Scatter(&c, 3*(8/Npp), MPI_DOUBLE, ctr, 3*(8/Npp), MPI_DOUBLE, 0, COMM_LVL2);
441     }
442 }
443 //condivido la visione globale
444 if(k==0 && myrank[0]<8){
445     MPI_Bcast(&n, 8, MPI_INT, 0, COMM_LVL1);
446 }
447 if(k==1){
448     MPI_Bcast(&n, 8, MPI_INT, 0, COMM_LVL2);
449 }
450 for(int j=0;j<Npp;j++){
451     n[j]=n[(j*(8/Npp))];
452     for(int i=1;i<(8/Npp);i++){
453         n[j]+=n[(j*(8/Npp))+i];
454     }
455 }
456 N=n[myrank[k]];
457 shift[0]=0;
458 for(int i=1;i<Npp;i++){
459     shift[i]=shift[i-1]+n[i-1];
460 }
461 if(k==0 && myrank[0]<8){
462     MPI_Scatterv(octree,n,shift,Bodytype,bodies,N,Bodytype,0,COMM_LVL1);
463 }
464 if(k==1){
465     MPI_Scatterv(octree,n,shift,Bodytype,bodies,N,Bodytype,0,COMM_LVL2);
466 }
467 }
468 t2 = MPI_Wtime();
469
470 //-----+
471 /// OCTREE E GRAVITA' /
472 //+-----+
473
474 for(int i=0;i<(8/Npc);i++){
475     local_octree[i] = Generate_Octree(N, &ctr[3*i], 1, bodies, myrank[0]);
476     cm1[i] = local_octree[i]->cm;

```

```

477 }
478 MPI_Allgather(&cm1, 8/Npc, Bodytype, cm, 8/Npc, Bodytype, MPI_COMM_WORLD);
479
480 vector<int> to[Np[0]];
481 int rrank;
482 if(Np[0]<=8){
483     rrank=myrank[0];
484 }
485 if(Np[0]>8){
486     rrank=myrank[1];
487 }
488
489 for(int i=0;i<N;i++){
490     //inizializzo gravità
491     g[i][0] = 0;
492     g[i][1] = 0;
493     g[i][2] = 0;
494     for(int j=0;j<(8/Npc);j++){
495         Compute_Gravity(bodies[i], local_octree[j], g[i], 1);
496     }
497     Compute_Gravity_cm(bodies[i], i, cm, Ncm, Np[1], rrank, myrank[0], to, g[i], 1);
498 }
499
500 //Computazione gravità negli altri processi
501 int n_rec[Np[0]];
502 //invio dimensioni
503 for(int i=0;i<Np[0];i++){
504     int sn = to[i].size(); //Numero di invii
505     MPI_Gather(&sn,1,MPI_INT,&n_rec,1,MPI_INT,i,MPI_COMM_WORLD);
506 }
507 //operazioni parallele
508 int tot=0;
509 for(int j=0;j<Np[0];j++){
510     tot+=n_rec[j];
511     if(j==0){
512         shift[j]=0;
513     }
514     else{
515         shift[j]=shift[j-1]+n_rec[j-1];
516     }
517 }
518 Body in[tot];
519 Vect3D gy[tot];
520 //invio corpi
521 for(int i=0;i<Np[0];i++){
522     int sn = to[i].size(); //Numero di invii
523     Body out[sn]; //cosa invio
524     for(int j=0;j<sn;j++){

```

```

525     out[j]=bodies[to[i][j]];
526 }
527 MPI_Gatherv(&out,sn,Bodytype,&in,n_rec,shift,Bodytype,i,MPI_COMM_WORLD);
528 }
529 //Computo gravità
530 for(int j=0;j<tot;j++){
531     //inizializzo gravità
532     gy[j].v[0] = 0;
533     gy[j].v[1] = 0;
534     gy[j].v[2] = 0;
535     for(int k=0;k<(8/Npc);k++){
536         Compute_Gravity(in[j], local_octree[k], gy[j].v, 1);
537     }
538 }
539 for(int i=0;i<Np[0];i++){
540     int sn = to[i].size(); //Numero di invii
541     Vect3D gg[sn];
542     MPI_Scatterv(&gy,n_rec,shift,type3D,&gg,sn,type3D,i,MPI_COMM_WORLD);
543     for(int j=0;j<sn;j++){
544         g[to[i][j]][0]+=gg[j].v[0];
545         g[to[i][j]][1]+=gg[j].v[1];
546         g[to[i][j]][2]+=gg[j].v[2];
547     }
548 }
549
550 for(int i=0;i<(8/Npc);i++){
551     Delete_Octree(local_octree[i]);
552 }
553 t3 = MPI_Wtime();
554 //-----+
555 /// CICLO SUL TEMPO /
556 //+-----+
557
558 while(t<=T){
559     if(myrank[0]==0){
560         cout << "ciclo al tempo " << t << endl;
561     }
562
563 //-----+
564 /// VELOCITY VERLET PRIMA PARTE /
565 //+-----+
566     for(int i=0;i<N;i++){
567         bodies[i].vel[0] = bodies[i].vel[0] + 0.5*dt*g[i][0];
568         bodies[i].vel[1] = bodies[i].vel[1] + 0.5*dt*g[i][1];
569         bodies[i].vel[2] = bodies[i].vel[2] + 0.5*dt*g[i][2];
570         bodies[i].coord[0] = bodies[i].coord[0] + dt*bodies[i].vel[0];
571         bodies[i].coord[1] = bodies[i].coord[1] + dt*bodies[i].vel[1];
572         bodies[i].coord[2] = bodies[i].coord[2] + dt*bodies[i].vel[2];

```

```

573     }
574
575     //-----+
576     ///                                     SCAMBIO CORPI                                     /
577     //+-----+
578     int n_send;
579     vector<int> s;
580     vector<int> h;
581     //inizializzo newbodies e n_recv sullo stato attuale
582     for(int i=0;i<N;i++){
583         newbodies[i]=bodies[i];
584     }
585     n_recv = N;
586     N = 0; //lo ricalcolo nello scambio
587     for(int j=0;j<Np[0];j++){
588         for(int i=0;i<n_recv;i++){
589             if(newbodies[i].IsInCube(cc,L)==false){
590                 //bodies fuori dal sistema, non li considero oltre
591             }
592             else if(newbodies[i].IsInCubes(ctr, 1, 8/Npc)==false){
593                 s.push_back(i); //salvo l'indice dei bodies fuori dal sottosistema da inviare
594             }
595             else{
596                 h.push_back(i); //salvo l'indice dei bodies da tenere
597             }
598         }
599         for(int i=0;i<s.size();i++){
600             send[i]= newbodies[s[i]];
601         }
602         for(int i=0;i<h.size();i++){
603             bodies[N]= newbodies[h[i]];
604             N++;
605         }
606         if(j<(Np[0]-1)){
607             //spedizioni di scambio a cerchio
608             n_send=s.size();
609             int id_s = myrank[0]+1;
610             int id_r = myrank[0]-1;
611             if(myrank[0]==(Np[0]-1)){
612                 id_s = 0;
613             }
614             if(myrank[0]==0){
615                 id_r = Np[0]-1;
616             }
617             if(myrank[0]%2==0){
618                 MPI_Send(&n_send, 1, MPI_INT, id_s, j+1, MPI_COMM_WORLD);
619                 MPI_Recv(&n_recv, 1, MPI_INT, id_r, j+1, MPI_COMM_WORLD, &status);
620

```

```

621     MPI_Send(&send, n_send, Bodytype, id_s, j+8, MPI_COMM_WORLD);
622     MPI_Recv(&newbodies, n_recv, Bodytype, id_r, j+8, MPI_COMM_WORLD, &status);
623 }
624 else{
625     MPI_Recv(&n_recv, 1, MPI_INT, id_r, j+1, MPI_COMM_WORLD, &status);
626     MPI_Send(&n_send, 1, MPI_INT, id_s, j+1, MPI_COMM_WORLD);
627
628     MPI_Recv(&newbodies, n_recv, Bodytype, id_r, j+8, MPI_COMM_WORLD, &status);
629     MPI_Send(&send, n_send, Bodytype, id_s, j+8, MPI_COMM_WORLD);
630 }
631 }
632 s.clear();
633 h.clear();
634 }
635
636 //-----+
637 //|                                     OCTREE E GRAVITA'                               |
638 //+-----+
639
640 //aggiorno l'octree e la gravità
641 for(int i=0;i<(8/Npc);i++){
642     local_octree[i] = Generate_Octree(N, &ctr[3*i], 1, bodies, myrank[0]);
643     cm1[i] = local_octree[i]->cm;
644 }
645 MPI_Allgather(&cm1, 8/Npc, Bodytype, cm, 8/Npc, Bodytype, MPI_COMM_WORLD);
646
647 vector<int> to[Np[0]];
648 int rrank;
649 if(Np[0]<=8){
650     rrank=myrank[0];
651 }
652 if(Np[0]>8){
653     rrank=myrank[1];
654 }
655
656 for(int i=0;i<N;i++){
657     //inizializzo gravità
658     g[i][0] = 0;
659     g[i][1] = 0;
660     g[i][2] = 0;
661     for(int j=0;j<(8/Npc);j++){
662         Compute_Gravity(bodies[i], local_octree[j], g[i], 1);
663     }
664     Compute_Gravity_cm(bodies[i], i, cm, Ncm, Np[1], rrank, myrank[0], to, g[i], 1);
665 }
666
667 //Computazione gravità negli altri processi
668 int n_rec[Np[0]];

```

```

669 //invio dimensioni
670 for(int i=0;i<Np[0];i++){
671     int sn = to[i].size(); //Numero di invii
672     MPI_Gather(&sn,1,MPI_INT,&n_rec,1,MPI_INT,i,MPI_COMM_WORLD);
673 }
674 //operazioni parallele
675 int tot=0;
676 for(int j=0;j<Np[0];j++){
677     tot+=n_rec[j];
678     if(j==0){
679         shift[j]=0;
680     }
681     else{
682         shift[j]=shift[j-1]+n_rec[j-1];
683     }
684 }
685 Body in[tot];
686 Vect3D gy[tot];
687 //invio corpi
688 for(int i=0;i<Np[0];i++){
689     int sn = to[i].size(); //Numero di invii
690     Body out[sn]; //cosa invio
691     for(int j=0;j<sn;j++){
692         out[j]=bodies[to[i][j]];
693     }
694     MPI_Gatherv(&out,sn,Bodytype,&in,n_rec,shift,Bodytype,i,MPI_COMM_WORLD);
695 }
696 //Computo gravità
697 for(int j=0;j<tot;j++){
698     //inizializzo gravità
699     gy[j].v[0] = 0;
700     gy[j].v[1] = 0;
701     gy[j].v[2] = 0;
702     for(int k=0;k<(8/Npc);k++){
703         Compute_Gravity(in[j], local_octree[k], gy[j].v, 1);
704     }
705 }
706 //restituisco valori della gravità
707 for(int i=0;i<Np[0];i++){
708     int sn = to[i].size(); //Numero di invii
709     Vect3D gg[sn];
710     MPI_Scatterv(&gy,n_rec,shift,type3D,&gg,sn,type3D,i,MPI_COMM_WORLD);
711     for(int j=0;j<sn;j++){
712         g[to[i][j]][0]+=gg[j].v[0];
713         g[to[i][j]][1]+=gg[j].v[1];
714         g[to[i][j]][2]+=gg[j].v[2];
715     }
716 }

```



```

717
718     for(int i=0;i<(8/Npc);i++){
719         Delete_Octree(local_octree[i]);
720     }
721
722 //-----+
723 ///          VELOCITY VERLET SECONDA PARTE          /
724 //-----+
725     //velocity Verlet parte 2
726     for(int i=0;i<N;i++){
727         bodies[i].vel[0] = bodies[i].vel[0] + 0.5*dt*g[i][0];
728         bodies[i].vel[1] = bodies[i].vel[1] + 0.5*dt*g[i][1];
729         bodies[i].vel[2] = bodies[i].vel[2] + 0.5*dt*g[i][2];
730     }
731     t += dt;
732 }
733 t4 = MPI_Wtime();
734
735 //-----+
736 ///          ESPORTO I RISULTATI          /
737 //-----+
738 MPI_Gather(&N,1,MPI_INT,n_end,1,MPI_INT,0,MPI_COMM_WORLD); //raccolgo n dai vari proc
739 shift[0]=0;
740 for(int i=1;i<Np[0];i++){
741     shift[i]=shift[i-1]+n_end[i-1];
742 }
743 MPI_Gatherv(bodies,N,Bodytype,bodies_end,n_end,shift,Bodytype,0,MPI_COMM_WORLD);
744 if (myrank[0]==0) {
745     N=0;
746     for(int i=0;i<Np[0];i++){
747         N += n_end[i];
748     }
749     save(output_file,bodies_end,N);
750     cout << "Dati salvati: " << N << "\n";
751 }
752 delete octree;
753 delete cm;
754 delete ctr;
755 delete bodies_end;
756 delete bodies;
757 t5 = MPI_Wtime();
758 MPI_Finalize();
759 if(myrank[0]==0){
760     ofstream time_data;
761     time_data.open("Performance_"+to_string(Np[0])+".txt");
762     time_data << "Number of bodies: " << N << "\n";
763     time_data << "Total time (MPI) is " << t5-t0 << "\n";
764     time_data << "Import time (MPI) is " << t1-t0 << "\n";

```

```

765     time_data << "Division time (MPI) is " << t2-t1 << "\n";
766     time_data << "First Octree time (MPI) is " << t3-t2 << "\n";
767     time_data << "Export time (MPI) is " << t5-t4 << "\n";
768 }
769 return 0;
770 }
771
772 //-----+
773 //|                                     FUNZIONI                               |
774 //+-----+
775 int count(string file){
776     int c;
777     c = 0;
778     ifstream txt;
779     txt.open(file);
780     string s;
781     while(txt.eof() == false){
782         getline(txt,s);
783         if(s != "" && s.at(0) != '#'){
784             c++;
785         }
786     }
787     txt.close();
788     return c;
789 }
790
791 void load(string file, Body bodies[], int dimension){
792     ifstream txt;
793     txt.open(file);
794     string s;
795     string p[3];
796     string v[3];
797     string m;
798     int i;
799     i = 0; //numero riga
800     int k;
801     k = 0; //numero colonna
802     while(txt.eof() == false){
803         getline(txt,s);
804         if(s != "" && s.at(0) != '#'){
805             if(i < dimension){
806                 for(int j=0; j < s.length(); j++){
807                     if(s[j] != ' ' && k==0){
808                         m=m+s[j];
809                     }
810                     else if(s[j] != ' ' && k>0 && k<4){
811                         p[k-1]=p[k-1]+s[j];
812                     }

```

```

813         else if(s[j] != ' ' && k>3 && k<7){
814             v[k-4]=v[k-4]+s[j];
815         }
816         else{
817             k++;
818         }
819     }
820     double x[3] = {stod(p[0]),stod(p[1]),stod(p[2])};
821     double vl[3] = {stod(v[0]),stod(v[1]),stod(v[2])};
822     Body bd(stof(m),vl,x);
823     bodies[i]=bd;
824     m = "";
825     p[0] = "";
826     p[1] = "";
827     p[2] = "";
828     v[0] = "";
829     v[1] = "";
830     v[2] = "";
831     i++;
832 }
833 else{
834     cout << "Errore: file oltre il limite del vettore" << endl;
835     cout << "Non tutti i dati sono stati raccolti" << endl;
836     break;
837 }
838 k = 0;
839 }
840 }
841 txt.close();
842 }
843
844 void save(string file, Body bodies[], int dimension){
845     ofstream txt;
846     txt.open(file);
847     for(int i=0;i<dimension;i++){
848         txt << setiosflags(ios::scientific);
849         txt << bodies[i].mass << " ";
850         txt << bodies[i].coord[0] << " ";
851         txt << bodies[i].coord[1] << " ";
852         txt << bodies[i].coord[2] << " ";
853         txt << bodies[i].vel[0] << " ";
854         txt << bodies[i].vel[1] << " ";
855         txt << bodies[i].vel[2] << endl;
856     }
857     txt.close();
858 }
859
860 Barnes* Generate_Octree(int &N, double c[], double Len, Body bodies[], int myrank){

```

```

861 //creo il nodo root
862 double m = 0;
863 double mm;
864 double p[3] = {0,0,0}; //per il centro di massa
865 for(int i=0;i<N;i++){
866     mm = bodies[i].mass;
867     m += mm;
868     p[0] += bodies[i].coord[0]*mm;
869     p[1] += bodies[i].coord[1]*mm;
870     p[2] += bodies[i].coord[2]*mm;
871 }
872 p[0]=p[0]/m;
873 p[1]=p[1]/m;
874 p[2]=p[2]/m;
875 Barnes* root = new Barnes(m,p);
876 if(N>1){
877     //divido in ottanti e chiamo il costruttore
878     double l = Len/2;
879     //salvo il centro madre
880     double cc[3] = {c[0],c[1],c[2]};
881     //primo ottante
882     c[0] = cc[0] - l/2;
883     c[1] = cc[1] - l/2;
884     c[2] = cc[2] - l/2;
885     Barnes* nd1 = new Barnes(N,c,l,bodies);
886     if(nd1->empty==true){
887         delete nd1;
888     }
889     else{
890         root->subnodes.push_back(nd1);
891     }
892     //secondo ottante
893     c[2] = cc[2] + l/2;
894     Barnes* nd2 = new Barnes(N,c,l,bodies);
895     if(nd2->empty==true){
896         delete nd2;
897     }
898     else{
899         root->subnodes.push_back(nd2);
900     }
901     //terzo ottante
902     c[1] = cc[1] + l/2;
903     c[2] = cc[2] - l/2;
904     Barnes* nd3 = new Barnes(N,c,l,bodies);
905     if(nd3->empty==true){
906         delete nd3;
907     }
908     else{

```

```

909         root->subnodes.push_back(nd3);
910     }
911     //quarto ottante
912     c[2] = cc[2] + 1/2;
913     Barnes* nd4 = new Barnes(N,c,l,bodies);
914     if(nd4->empty==true){
915         delete nd4;
916     }
917     else{
918         root->subnodes.push_back(nd4);
919     }
920     //quinto ottante
921     c[0] = cc[0] + 1/2;
922     c[1] = cc[1] - 1/2;
923     c[2] = cc[2] - 1/2;
924     Barnes* nd5 = new Barnes(N,c,l,bodies);
925     if(nd5->empty==true){
926         delete nd5;
927     }
928     else{
929         root->subnodes.push_back(nd5);
930     }
931     //sesto ottante
932     c[2] = cc[2] + 1/2;
933     Barnes* nd6 = new Barnes(N,c,l,bodies);
934     if(nd6->empty==true){
935         delete nd6;
936     }
937     else{
938         root->subnodes.push_back(nd6);
939     }
940     //settimo ottante
941     c[1] = cc[1] + 1/2;
942     c[2] = cc[2] - 1/2;
943     Barnes* nd7 = new Barnes(N,c,l,bodies);
944     if(nd7->empty==true){
945         delete nd7;
946     }
947     else{
948         root->subnodes.push_back(nd7);
949     }
950     //ottavo ottante
951     c[2] = cc[2] + 1/2;
952     Barnes* nd8 = new Barnes(N,c,l,bodies);
953     if(nd8->empty==true){
954         delete nd8;
955     }
956     else{

```

```

957         root->subnodes.push_back(nd8);
958     }
959     //risistemo la variabile centro passata by reference
960     c[0] = cc[0];
961     c[1] = cc[1];
962     c[2] = cc[2];
963 }
964     return root;
965 }
966
967 void Delete_Octree(Barnes* root){ //gestione allocazione dinamica
968     root->Delete_Subnodes();
969     delete root;
970 }
971
972 double Distance(Body b1, Body b2){
973
974     double a[3] = {b1.coord[0],b1.coord[1],b1.coord[2]};
975     double b[3] = {b2.coord[0],b2.coord[1],b2.coord[2]};
976
977     double d = sqrt(abs(((a[0]-b[0])*(a[0]-b[0]))+
978                         ((a[1]-b[1])*(a[1]-b[1]))+
979                         ((a[2]-b[2])*(a[2]-b[2])))));
980
981     return d;
982 }
983
984 void Vectorial_Distance(Body b1, Body b2, double *d){
985
986     double a[3] = {b1.coord[0],b1.coord[1],b1.coord[2]};
987     double b[3] = {b2.coord[0],b2.coord[1],b2.coord[2]};
988
989     d[0] = b[0]-a[0];
990     d[1] = b[1]-a[1];
991     d[2] = b[2]-a[2];
992
993 }
994
995 void acc(double m, double d, double *x, double *a){
996     double mr = m/(d*d*d);
997     a[0] += x[0]*mr;
998     a[1] += x[1]*mr;
999     a[2] += x[2]*mr;
1000 }
1001
1002 void Compute_Gravity(Body body, Barnes* current, double *g, double Len){
1003     double dx[3]; //per la distanza vettoriale tra corpi
1004     double m;

```

```

1005     double l;
1006     double d;
1007     for(int k=0;k<current->subnodes.size();k++){
1008         current=current->subnodes[k];
1009         d = Distance(body,current->cm);
1010         l = Len/(2);
1011         if(d<l && current->subnodes.size()>0){
1012             Compute_Gravity(body,current,g,l);
1013         }
1014         else if(d<=pow(10,-16)){ //escludo i casi di distanze tra un corpo e se stesso
1015
1016         }
1017         else{
1018             m = current->cm.mass;
1019             Vectorial_Distance(body,current->cm,dx);
1020             acc(m,d,dx,g); //aggiungo gravità
1021         }
1022     }
1023 }
1024
1025 void Compute_Gravity_cm(Body body, int i, Body nodes_cm[], int Ncm, int Np, int rank, int rank0){
1026     double dx[3]; //per la distanza vettoriale tra corpi
1027     double m;
1028     double l;
1029     double d;
1030     for(int k=0;k<Ncm;k++){
1031         if(k>=((rank*(8/Np))+(rank0/8)) && k<(((rank+1)*(8/Np)))+(rank0/8)){
1032             //escludo i centri di massa dell'octree locale
1033         }
1034         else{
1035             m = nodes_cm[k].mass;
1036             if(m>0){ //escludo i nodi vuoti
1037                 d = Distance(body,nodes_cm[k]);
1038                 l = Len/(2);
1039                 if(d<l){
1040                     v[(k/(8/Np))].push_back(i);
1041                 }
1042                 else if(d<=pow(10,-16)){ //escludo i casi di distanze tra un corpo e se stesso
1043
1044                 }
1045                 else{
1046                     Vectorial_Distance(body,nodes_cm[k],dx);
1047                     acc(m,d,dx,g);
1048                 }
1049             }
1050         }
1051     }
1052 }

```
